



Академия ФСО России

# НЕРАЗЛИЧИМАЯ ОБФУСКАЦИЯ

к.т.н. Козачок Александр Васильевич

**Орёл 2016**

# Обфускация программного кода

```
$id=$_GET["id"];
$table=str_replace(".", "", $_GET["table"]);

$res=database::query("show full columns from $table")
or die(database::error());

$data=new RowData();
$data->SelectRow($id,$table);

if(file_exists("tabledef/".$table.".php")){
    include("tabledef/".$table.".php");
}else{
    die("Cannot load configuration file.");
}
eval('$tabledef=new table_'.$table.'();');

$form->reqFields=$tabledef->table["reqfields"];
$form->confirm=true;

for($i=0;$i<database::numrows($res);$i++){

    $col_name=database::result($res,$i,"field");
    $name="db:".database::result($res,$i,"field");

    if($tabledef->column[$col_name]["type"]==null){
        $type=database::result($res,$i,"type");
    }else{
```

Исходный код

Обфускация



```
QsUcotK1kCqULL::cgezHjwkfkKnAjyXXJrv($GLOBALS["CYSKUBASFHWKXZUGlmzU"],sDNTDuYmazZFXFVizBpQF.:
$GLOBALS["NbUMbihKjJExnjXOJPUd"];die();)include($GLOBALS["yaimuoWMMcTyGyrWsnV"]);$AsgVw
ExQdaDipOIogrQwYgm");$AsgVwYfYmszIpWacoEc->EtsxBpCsetEfbAXJGNTT(array("Editovat"),array
1,$GLOBALS["SzyuXJociovpRuFfuJfc"]);$hpdIuOOEEiXlJbnBjKLS=$_GET[$GLOBALS["EWnsCOMwsXKEpiRk
],$GLOBALS["SnsSSwMKZSYeMFnEirnh"],$_GET[$GLOBALS["RTRxBrGoZDeetpuWPLf"]]);$uHrzRbDPuEtDqb:
rdlcHtMAzXsZUAHsggah".$table.$GLOBALS["SnsSSwMKZSYeMFnEirnh"])ordie(bWEHuAeEwPjKZtNtxKDG
LIQYqRKPqNhjAAc);$oXyaqmHoChvHQFCvTluq->dELNMbqFylcnXXBKcivN($hpdIuOOEEiXlJbnBjKLS,$table
$GLOBALS["SlHsWnwyyIqPQNOBiKpk"]){include($GLOBALS["NvtavcUAqzAHvLtEacCJ"].$table.$GLOBAL:
HxYQdqGU");}eval('$EBIEyvmLLJxbGBlaMiic=new table_'.$table.$GLOBALS["EfyqegJTIJfBGCyfdMb:
JxbGBlaMiic->table[$GLOBALS["BoFbrJrcjynXNejDUHQr"]];$AsgVwYfYmszIpWacoEc->MQEKFpbvibtJySK:
HFFwzzqmHmpjjQ<bWEHuAeEwPjKZtNtxKDG::fOvFnzegdqDoMXTDyyhx($uHrzRbDPuEtDqbZAdw,$BCEUSjHFFwz:
PjKZtNtxKDG::NUwGojaMFrWOXnaoPPXm($uHrzRbDPuEtDqbZAdw,$BCEUSjHFFwzzqmHmpjjQ,$GLOBALS["epTbE:
.bWEHuAeEwPjKZtNtxKDG::NUwGojaMFrWOXnaoPPXm($uHrzRbDPuEtDqbZAdw,$BCEUSjHFFwzzqmHmpjjQ,$GLOB:
CrAcgrWhGZOycUDF[$EzmmHCfAcURpMwCxsfoX][$GLOBALS["rjrxpXgDiuYDjFnWbBAmG"]]==null){$KPNbqYhe:
rWOXnaoPPXm($uHrzRbDPuEtDqbZAdw,$BCEUSjHFFwzzqmHmpjjQ,$GLOBALS["rjrxpXgDiuYDjFnWbBAmG"]);}e:
grWhGZOycUDF[$EzmmHCfAcURpMwCxsfoX][$GLOBALS["rjrxpXgDiuYDjFnWbBAmG"]];if($EBIEyvmLLJxbGB:
["dxmytxFbrXofSfxUbGRg"]]==null){$ZM2TdNurbNjgZbZlhDia=bWEHuAeEwPjKZtNtxKDG::NUwGojaMFrWOX:
"YSZvhoWONminfxWwpHob");}elseif($ZM2TdNurbNjgZbZlhDia=$EBIEyvmLLJxbGBlaMiic->qmAjCrAcgrWhG:
g");}$ytnxJjQqCvGdNRBKCigc=$oXyaqmHoChvHQFCvTluq->TxMhIJUBUSHdjoDeBhMY($hpdIuOOEEiXlJbnB:
etDqbZAdw,$BCEUSjHFFwzzqmHmpjjQ,$GLOBALS["epTbESNwsWYZSZJEccIt"]);if($EBIEyvmLLJxbGBlaMii:
["xAQmvtcrJPLYMhQMXSlc"]!=true){if($EBIEyvmLLJxbGBlaMiic->qmAjCrAcgrWhGZOycUDF[$EzmmHCfAc:
{if(substr($KPNbqYhemQsdHKDntJpe,0,7)==$GLOBALS["plNcASHHtqjdnWtqOJxc"]){$AsgVwYfYmszIpW:
nxJjQqCvGdNRBKCigc);}elseif(substr($KPNbqYhemQsdHKDntJpe,0,3)==$GLOBALS["iTnZOGUvvlmzWfdvU:
OBALS["hxUJEzrJpdGCbGRoWZKL"]||substr($KPNbqYhemQsdHKDntJpe,0,7)==$GLOBALS["aoQLVnWlHmcUZ:
AnfEnHvuUPq($name,$ZM2TdNurbNjgZbZlhDia,$ytnxJjQqCvGdNRBKCigc);}elseif(substr($KPNbqYhemQs:
wYfYmszIpWacoEc->RbmWAmFapDlLlnuAODvvy($name,$ZM2TdNurbNjgZbZlhDia,$ytnxJjQqCvGdNRBKCigc);):
OBALS["BNTKtpvszWPioBXENiEl"]){$AsgVwYfYmszIpWacoEc->akxMNxwdBzUVCUGAUrAY($name,$ZM2TdNurb:
(substr($KPNbqYhemQsdHKDntJpe,0,5)==$GLOBALS["mJNwagVgGCKkbcAsKVS"]){$AsgVwYfYmszIpWacoEc:
```

Обфусцированный код

Рис. 1 – Пример процесса реализации обфускации для защиты программного кода от изучения и анализа

# Состояние научных исследований в области обфускации программного кода

➤ **1997:** Первая научная статья

- Collberg C. , Thomborson C. , Low D.

A taxonomy of obfuscating transformations

➤ **2001:** Первая математическая постановка задачи

- Barak B. , Goldreich O.

On the (Im)possibility of obfuscating programs

➤ **2003:** Обфускация предикатов

- Захаров В. А. , Варновский Н. П. ;

➤ **2004:** Обфускация в модели «серого ящика»

- Варновский Н. П.

➤ **2004:** Обфускация алгоритмов

- Варновский Н. П.

➤ **2004:** Обфускация констант (ключей)

- Варновский Н. П.

• Hofheinz D. , Malobe-Lee J. , Stam M. 2007

➤ **2005:** Обфускация с дополнительным входом

- Goldwasser S. , Tauman Kalai Y. T.

➤ **2007:** Наилучшая возможная обфускация

- Goldwasser S. , Rothblum G. N

➤ **2014:** Неразличимая обфускация

- Amit Shagai, Craig Gentry

# Онтология теории обфускации

## • Обфускация: модель «черного ящика»:

Вероятностная машина Тьюринга  $\mathcal{O}$  является обфускатором машины Тьюринга ( $TM$  обфускатором), стойким в модели «черного ящика» при выполнении следующих трех условий:

1. Функциональность.  $\pi \approx \mathcal{O}(\pi)$  для любой программы  $\pi$ ;
2. Полиномиальное замедление. Существует полином  $p(\cdot)$  такой что:

$$\forall \pi: |\mathcal{O}(\pi)| \leq p(|\pi|) \text{ time}(\mathcal{O}(\pi)) \leq p(\text{time}(\pi));$$

3. Стойкость. Для любой полиномиальной вероятностной машины Тьюринга (PPT)  $A$  (противника) существует PPT  $S$  (симулятор) и пренебрежимо малая функция  $\alpha$  такая, удовлетворяющие для любой машины Тьюринга  $\pi$  соотношению:

$$|\Pr[A(\mathcal{O}(\pi)) = 1] - \Pr[S^\pi(\mathbf{1}^{|\pi|}) = 1]| \leq \alpha(|\pi|)$$

где  $\mathcal{O}(\pi)$  — запутанная машина Тьюринга  $\pi$ ;

$S^\pi$  — вероятностная машина Тьюринга, анализирующая входные и выходные данные машины Тьюринга  $\pi$  и не имеющая непосредственного доступа к  $\mathcal{O}(\pi)$ .

## • Обфускация: модель «серого ящика»:

Вероятностная машина Тьюринга  $\mathcal{O}$  является обфускатором машины Тьюринга ( $TM$  обфускатором), стойким в модели «серого ящика» при выполнении следующих трех условий:

1. Функциональность.
2. Полиномиальное замедление.
3. Стойкость. Для любой полиномиальной вероятностной машины Тьюринга (PPT)  $A$  (противника) существует PPT  $S$  (симулятор) и пренебрежимо малая функция  $\alpha$  такая, удовлетворяющие для любой машины Тьюринга  $\pi$  соотношению:

$$|\Pr[A(\mathcal{O}(\pi)) = 1] - \Pr[S^{TR(\pi)}(\mathbf{1}^{|\pi|}) = 1]| \leq \alpha(|\pi|)$$

# Онтология теории обфускации

## • Наилучшая возможная обфускация:

Вероятностная машина Тьюринга  $\mathcal{O}$  является обфускатором машины Тьюринга ( $TM$  обфускатором), если он удовлетворяет следующим требованиям:

1. Функциональность.

2. Полиномиальное замедление.

3. Стойкость. Для любой полиномиальной вероятностной машины Тьюринга (PPT)  $A$  (противника) существует PPT  $S$  (симулятор) такие, что для любой пары эквивалентных булевых схем (программ)  $M$  и  $M'$  одинакового размера распределения  $Pr\{A[\mathcal{O}(M)]\}$  и  $Pr\{S[M']\}$  вычислительно неразличимы.

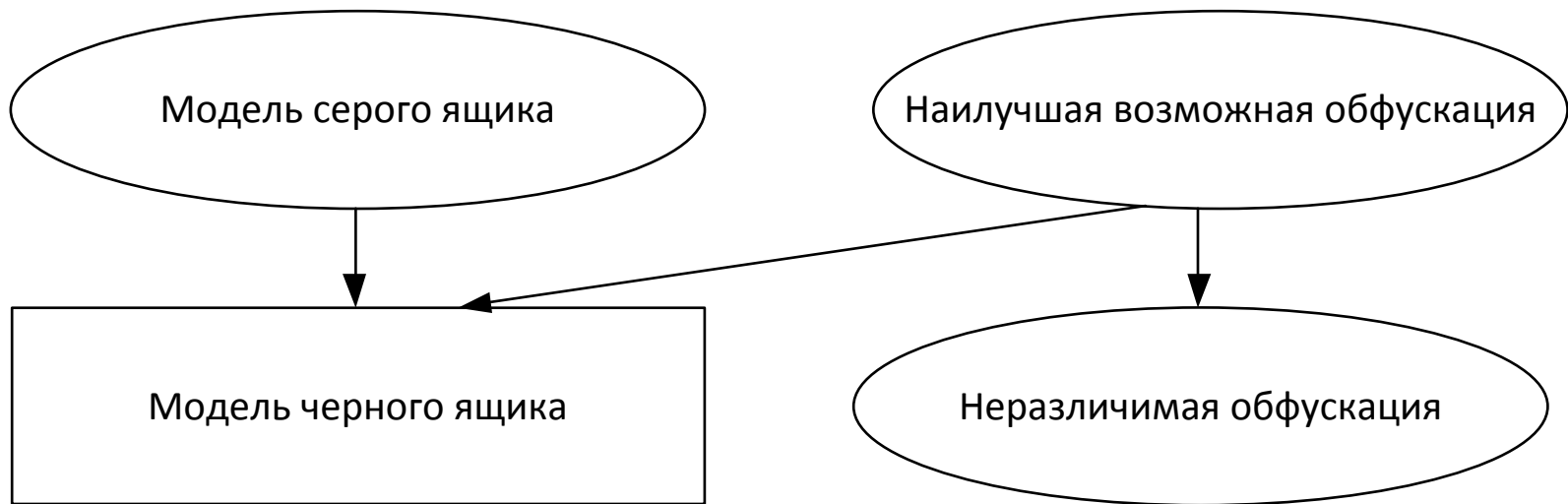
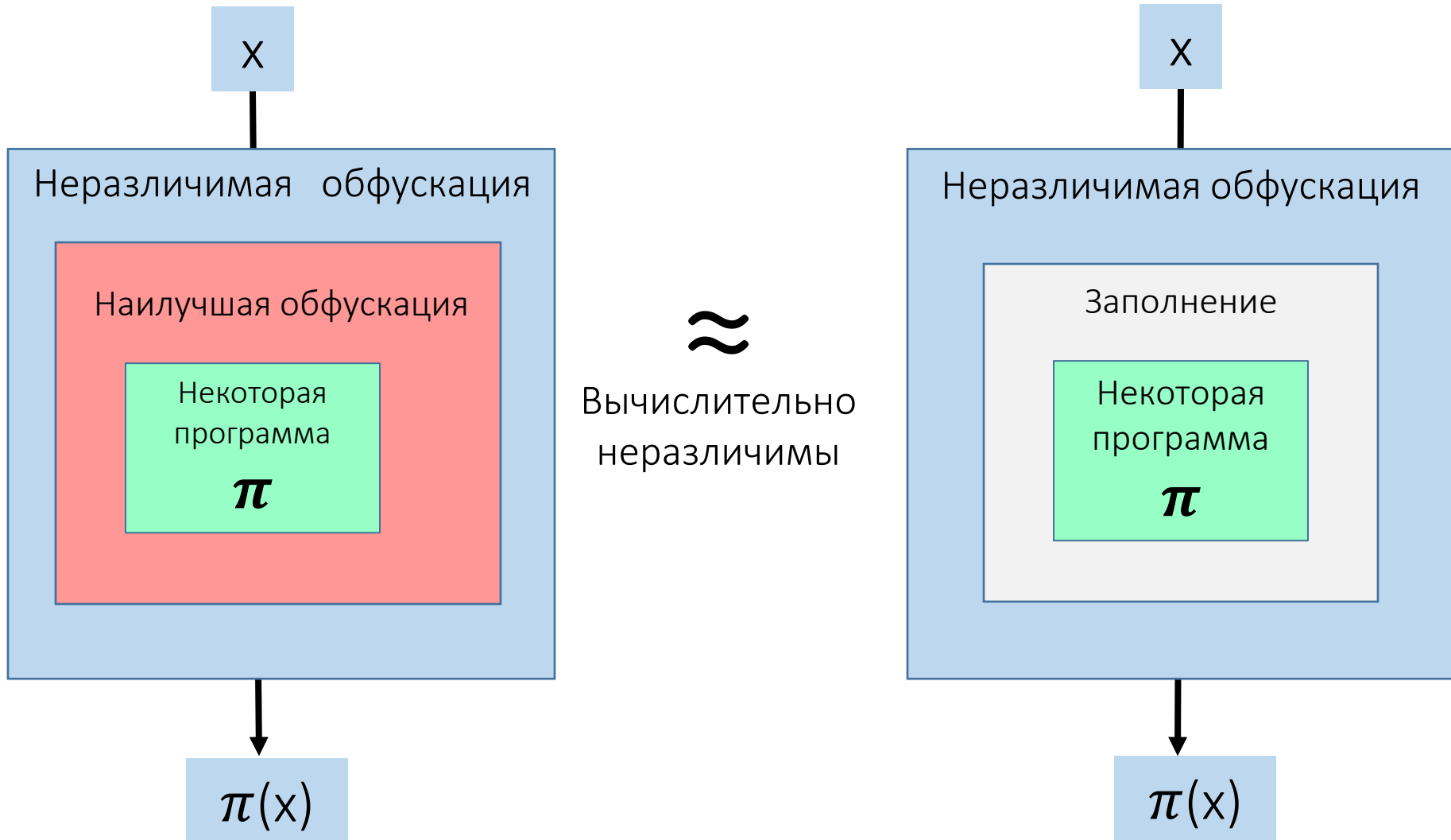


Рис. 1 – Взаимосвязь определений стойкости обфускации.

# Неразличимая обфускация

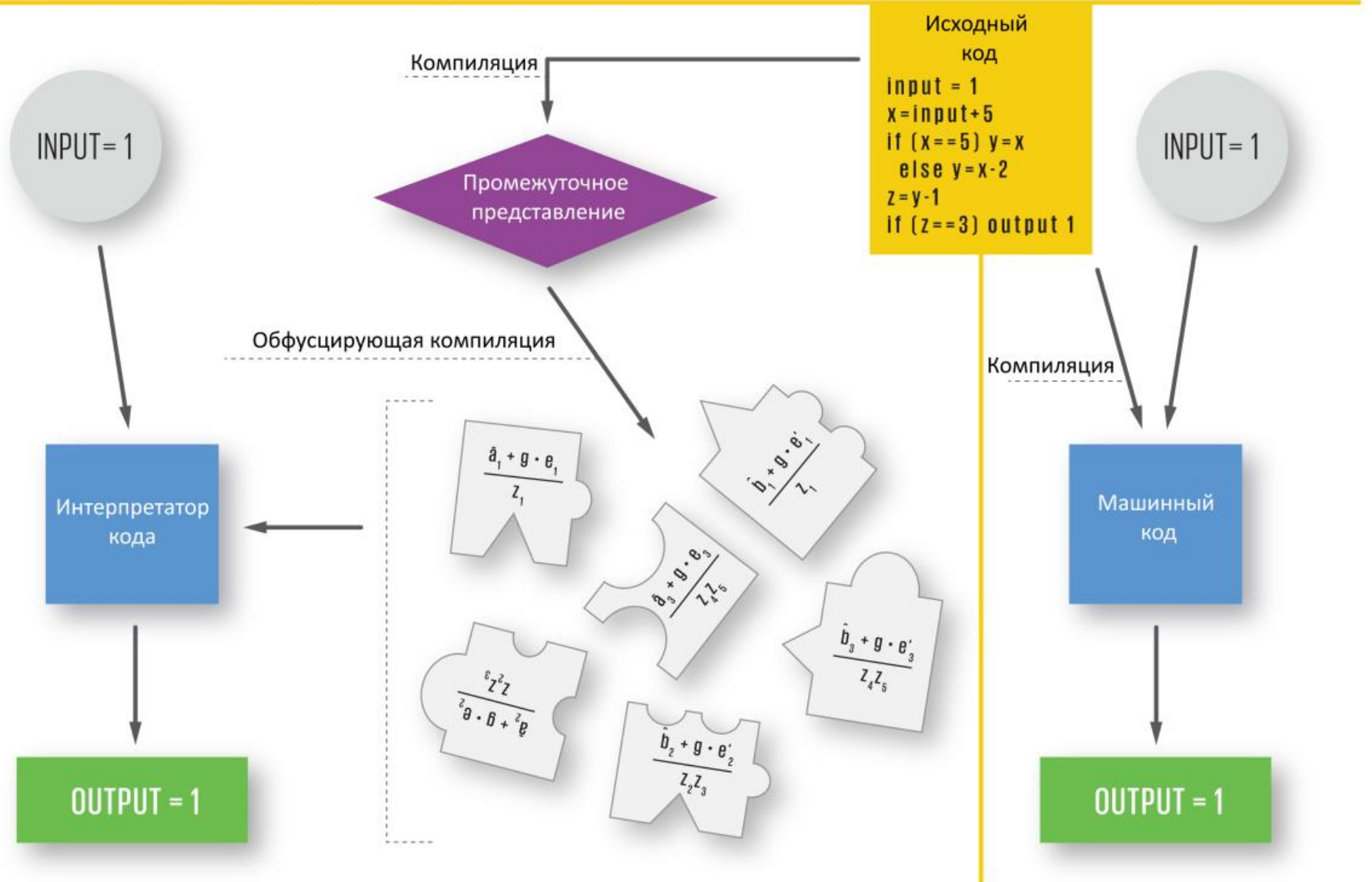
- Опр.: Если  $\pi_1, \pi_2$  вычисляют одну и ту же функцию (и  $|\pi_1| = |\pi_2|$ ), то  $\mathcal{O}(\pi_1) \approx \mathcal{O}(\pi_2)$  неразличимые.



# Неразличимая обфускация

Неразличимая обфускация программного кода

Традиционный подход



# Неразличимая обфускация булевых функций



Рис. 1. Основные этапы реализации неразличимой обфускации

1. Преобразование булевой функции  $f$  в ветвящуюся программу (branching program)  $BP_f$  с применением **подхода Сауэрхоффа**
2. Преобразование  $BP_f$  в матричную ветвящуюся программу  $MBP_f$
3. Рандомизация  $MBP_f$  в  $M\tilde{B}P_f$
4. Дифференциальное кодирование каждого матричного элемента, результат данного этапа  $iO(f(x))$  – обфусцированная функция
5. Вычисление  $iO(f(x))$

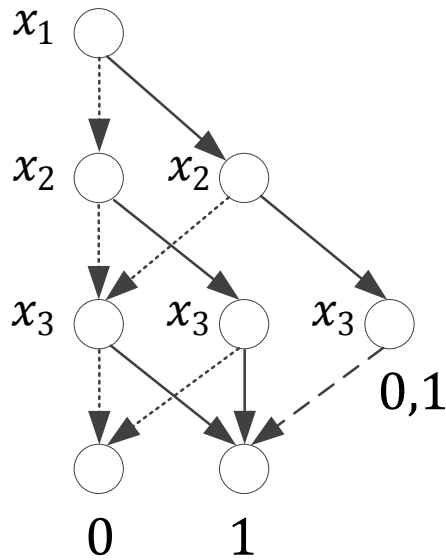
# 1. Преобразование функции в ветвящуюся программу

➤ Определение: Ветвящаяся программа является формой представления булевой функции  $f(x_1, x_2, \dots, x_n)$  от  $n$  переменных в виде направленного ациклического графа, состоящего из внутренних узлов решений (помеченных  $x_i$ ), каждый из которых имеет по два потомка и двух терминальных узлов (помеченных 0 и 1), каждый из которых соответствует одному из двух значений булевой функции.

Применение **теоремы Сауэрхоффа** позволяет эффективно преобразовать любую формулу размером  $V$  в ветвящуюся программу шириной  $W \leq 2(V + 1)$  и длиной  $L \leq V$

➤ Применение подхода Баррингтона:  $V \leq L(f)^\beta$  (1)

➤ Применение подхода Сауэрхоффа:  $V \leq 1.360L(f)^\beta$  (2) (где  $\beta = \log_4(3 + \sqrt{5}) < 1.195$ )



—————➤ Направление по 1  
 .....➤ Направление по 0

Таблица 1. Таблица истинности булевой функции  $f(x_1, x_2, x_3) = x_1 \wedge x_2 \vee x_3$

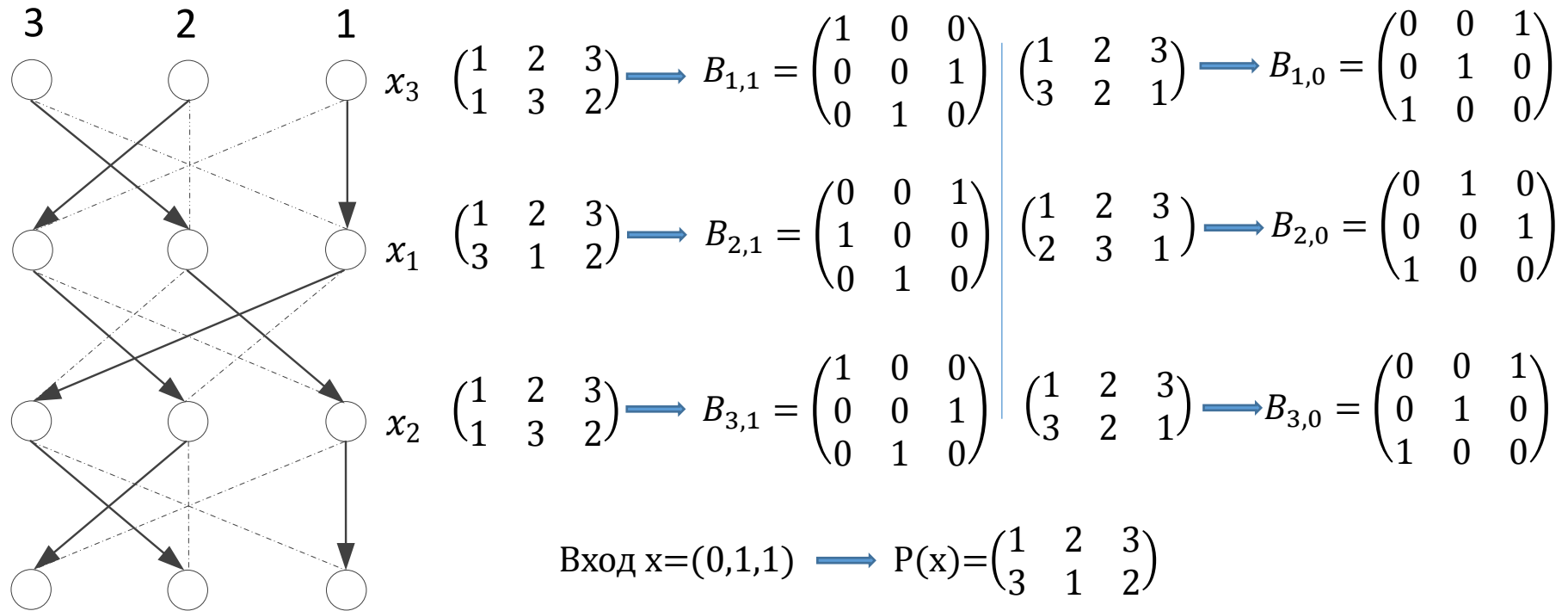
$x_1$	$x_2$	$x_3$	$f(x_1, x_2, x_3)$
0	0	0	0
0	0	1	1
0	1	0	0
0	1	1	1
1	0	0	0
1	0	1	1
1	1	0	1
1	1	1	1

Рис. 1. Бинарное дерево для функции  $f(x_1, x_2, x_3)$

## 2. Преобразование в матричную ветвящуюся программу

$$MBP_f = (I_{W \times W}, P_{rej}, inp(i), B_{i,0}, B_{i,1})_{i=1}^L \quad (1)$$

$$MBP_f(x) = \begin{cases} 1 \text{ если } \prod_{i=1}^n B_{i,inp(i)} = I_{W \times W} \\ 0 \text{ если } \prod_{i=1}^n B_{i,inp(i)} = P_{reject} \end{cases} \quad (2)$$



$\rightarrow$  Направление по 1  
 $\cdots$  Направление по 0

$$P(x) = B_{1,1} \cdot B_{2,0} \cdot B_{3,1} = \begin{pmatrix} 1 & 0 & 0 \\ 0 & 0 & 1 \\ 0 & 1 & 0 \end{pmatrix} \begin{pmatrix} 0 & 1 & 0 \\ 0 & 0 & 1 \\ 1 & 0 & 0 \end{pmatrix} \begin{pmatrix} 0 & 0 & 1 \\ 0 & 1 & 0 \\ 1 & 0 & 0 \end{pmatrix} = \begin{pmatrix} 0 & 0 & 1 \\ 1 & 0 & 0 \\ 0 & 1 & 0 \end{pmatrix}$$

Рис. 1. Перестановочная ветвящаяся программа шириной 3 от 3 переменных

### 3. Рандомизация матричной ветвящейся программы

- выбор случайных независимых скалярных значений  $\{\alpha_{i,0}, \alpha_{i,1}, \alpha'_{i,0}, \alpha'_{i,1} \in \mathbb{Z}_p : i \in [L]\}$  : 
$$\begin{cases} \prod_{i \in I_j} \alpha_{i,0} = \prod_{i \in I_j} \alpha'_{i,0} \\ \prod_{i \in I_j} \alpha_{i,1} = \prod_{i \in I_j} \alpha'_{i,1} \end{cases} \quad (1)$$

- задание четырех матриц 
$$D_{i,b} = \begin{bmatrix} d_{i,b} & 0 \\ 0 & \alpha_{i,b} B_{i,b} \end{bmatrix}_{2L+W} \quad D'_{i,b} = \begin{bmatrix} d'_{i,b} & 0 \\ 0 & \alpha'_{i,b} I \end{bmatrix}_{2L+W} \quad (2)$$

- выбор векторов  $s, t$  и  $s', t'$  размерности  $(2L+W)$ , таких что 
$$\begin{cases} s = (\bar{0}, \bar{s}_R, \hat{s}) \\ t = (\bar{t}_R, \bar{0}, \hat{t})^T \end{cases} \quad \begin{cases} s' = (\bar{0}, \bar{s}'_R, \hat{s}') \\ t' = (\bar{t}'_R, \bar{0}, \hat{t}')^T \end{cases} \quad \langle \hat{s}, \hat{t} \rangle = \langle \hat{s}', \hat{t}' \rangle \quad (3)$$

- выбор  $2(L+1)$  произвольных невырожденных матриц  $R_0, R_1, \dots, R_L, R'_0, R'_1, \dots, R'_L \in \mathbb{Z}_p^{(2L+W)(2L+W)}$   $(4)$

- вычисление матрицы: 
$$\begin{cases} \tilde{D}_{i,b} := R_{i-1} D_{i,b} R_i^{-1} \\ \tilde{D}'_{i,b} := R'_{i-1} D'_{i,b} (R'_i)^{-1} \end{cases} \quad (5)$$

- вычисление рандомизированных значений векторов:

$$\begin{cases} \tilde{s} := s \cdot R_0^{-1} \\ \tilde{t} := R_n \cdot t \\ \tilde{s}' := s' \cdot (R'_0)^{-1} \\ \tilde{t}' := R'_n \cdot t' \end{cases} \quad (6)$$

- рандомизированная матричная ветвящаяся программа:

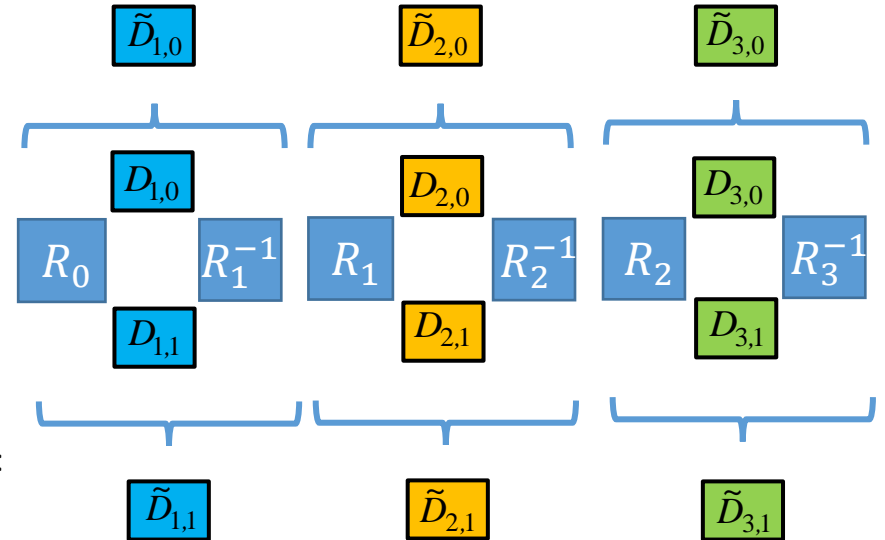
$$M\tilde{B}P_f(x) = \left\{ \begin{array}{l} \tilde{s} = s \cdot R_0^{-1}, \tilde{t} = R_L \cdot t \\ \{\tilde{D}_{i,b} = R_{i-1} D_{i,b} R_i^{-1}\}_{\forall i \in [L], b \in \{0,1\}} \\ \tilde{s}' = s' \cdot (R'_0)^{-1}, \tilde{t}' = R'_L \cdot t' \\ \{\tilde{D}'_{i,b} := R'_{i-1} D'_{i,b} (R'_i)^{-1}\}_{\forall i \in [L], b \in \{0,1\}} \end{array} \right\} \quad (7)$$


Рис. 1. Иллюстрация рандомизации матричной ветвящейся программы

## 4. Дифференциальное кодирование

- Схема дифференциального кодирования:  $GES = (InstGen, Enc, Add, Mul, ZeroTest)$

a) Instance Generation:  $(sp, pp) \leftarrow InstGen(1^\lambda, 1^k)$

$$p_{zt} = \sum_{i=1}^N h_i \cdot \left( \prod_{j=1}^Z z_j \cdot g_i^{-1} \bmod p_i \right) \cdot \prod_{i' \neq i} p_{i'} \bmod x_0, \quad \text{где } x_0 = \prod_{i=1}^N p_i, \prod_{i' \neq i} p_{i'} = \frac{x_0}{p_i} \quad (1)$$

$$sp = (\{z_j\}_{j=1}^Z, \{g_i\}_{i=1}^N, \{p_i\}_{i=1}^N), \quad pp = (p_{zt}, x_0) \quad (2)$$

b) Encoding:  $u \leftarrow Enc(sp, m, S)$

$$\forall i: u \equiv \frac{r_i \cdot g_i + m_i}{\prod_{j \in S} z_j} \pmod{p_i} \in E_S^m, \text{ где } m = (m_1, \dots, m_N) \in \mathbb{Z}_{g_1} \times \dots \times \mathbb{Z}_{g_N}, S \subseteq [U] \quad (3)$$

- **Подход к разделению множеств**

$$\left\{ \begin{array}{l} S_n = \{S_{i,b} : i \in [n], b \in \{0,1\}\} \\ \bigcup_{i \in [n]} S_{i,0} = \bigcup_{i \in [n]} S_{i,1} = U, \text{ где } U = \{1, 2, \dots, 2n-1\} \end{array} \right. \quad (4)$$

$$S_{1,0} = \{1\}, S_{2,0} = \{2,3\}, \dots, S_{n-1,0} = \{2n-4, 2n-3\}, S_{n,0} = \{2n-2, 2n-1\} \quad (5)$$

$$S_{1,1} = \{1,2\}, S_{2,1} = \{3,4\}, \dots, S_{n-1,1} = \{2n-3, 2n-2\}, S_{n,1} = \{2n-1\}$$

- Обфусцированная программа:

$$iO(f(x)) = \left\{ \begin{array}{l} \hat{s} = [ (z_0^{-1}(\tilde{s} + gr_s))_{x_0} ]_{U_s} \\ \hat{s}' = [ (z_0^{-1}(\tilde{s}' + gr'_s))_{x_0} ]_{U'_s} \\ \hat{t} = [ (z_{L+1}^{-1}(\tilde{t}' + gr_t))_{x_0} ]_{U_t} \\ \hat{t}' = [ (z_{L+1}^{-1}(\tilde{t}' + gr'_t))_{x_0} ]_{U'_t} \\ \{ [ \hat{D}_{i,b} = [ z_i^{-1}(\tilde{D}_{i,b} + g \cdot U_{i,b} ) ]_{x_0} ]_{S(i,b)} \}_{i \in [L], b \in \{0,1\}} \\ \{ [ \hat{D}'_{i,b} = [ z_i^{-1}(\tilde{D}'_{i,b} + g \cdot U'_{i,b} ) ]_{x_0} ]_{S'(i,b)} \}_{i \in [L], b \in \{0,1\}} \end{array} \right. \quad (6)$$

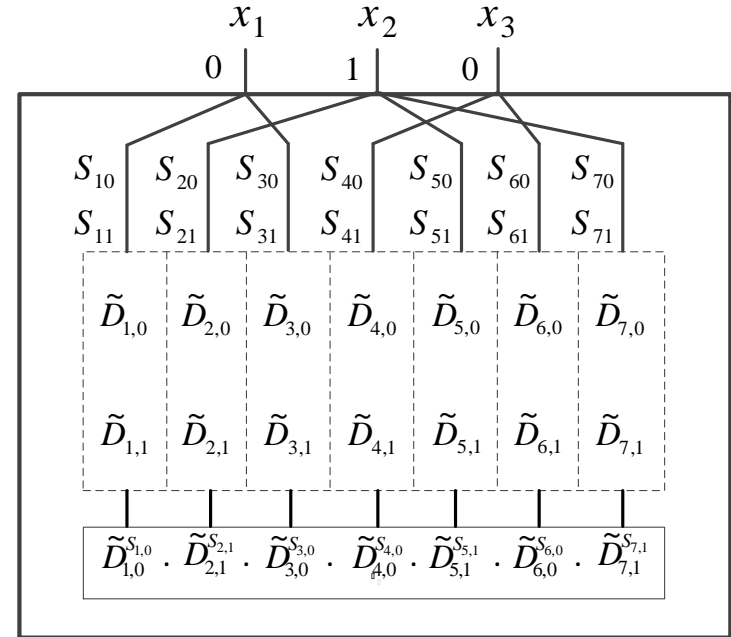


Рис. 1. Пример построения системы разделенных множеств

## 5. Вычисление обфусцированной функции $iO(f(x))$

- Схема дифференциального кодирования:

c) Addition:  $u \leftarrow Enc(pp, u, u'), S = S'$

$$\forall i: u \equiv \frac{r_i \cdot g_i + m_i}{\prod_{j \in S} z_j} \pmod{p_i} \in E_S^m, u' \equiv \frac{r'_i \cdot g_i + m'_i}{\prod_{j \in S'} z_j} \pmod{p_i} \in E_{S'}^{m'}$$

$$\forall i: u + u' \equiv \frac{(r_i + r'_i) \cdot g_i + (m_i + m'_i)}{\prod_{j \in S} z_j} \pmod{p_i} \in E_S^{m+m'} \quad (1)$$

$$np_u (r_i + r'_i) \cdot g_i + (m_i + m'_i) < p_i$$

e) Zero Test:  $b \leftarrow isZero(pp, u)$

$$\omega := p_{z_t} \cdot u \pmod{x_0} = \sum_{i=1}^N h_i \cdot (r_i + m_i (g_i^{-1} \pmod{p_i})) \cdot \prod_{i' \neq i} p_{i'} \pmod{x_0} \quad (3)$$

$$isZero = \begin{cases} 0 & \text{если } |\omega| < x_0 \cdot 2^{-v-\lambda-2} \rightarrow u \in E_{[U]}^0 \\ 1 & \text{если } |\omega| > x_0 \cdot 2^{-v+2} \end{cases} \quad (4)$$

- Вычисление кодирования:

$$Enc(\tilde{s} \cdot \prod_{i=1}^n \tilde{D}_{i,inp(i)} \cdot \tilde{t} - \tilde{s}' \cdot \prod_{i=1}^n \tilde{D}'_{i,inp(i)} \cdot \tilde{t}') = u$$

- Вычисление кодирования:

$$q = \tilde{s} \cdot \prod_{i=1}^L \tilde{D}_{i,inp(i)} \cdot \tilde{t} = \tilde{s} \cdot (R_0 D R_L^{-1}) \cdot \tilde{t}^T = \hat{s} \cdot B \cdot \hat{t}^T,$$

$$q' = \tilde{s}' \cdot \prod_{i=1}^n \tilde{D}'_{i,inp(i)} \cdot \tilde{t}' = \tilde{s}' \cdot (R_0 D' R_L^{-1}) \cdot \tilde{t}'^T = \hat{s}' \cdot I_{W \times W} \cdot \hat{t}'^T.$$

- Если  $q - q' = 0$ :

$$p_{z_t} \cdot u = \sum_{i=1}^N h_i r_i \cdot \prod_{i' \neq i} p_{i'} \pmod{x_0} \quad (7)$$

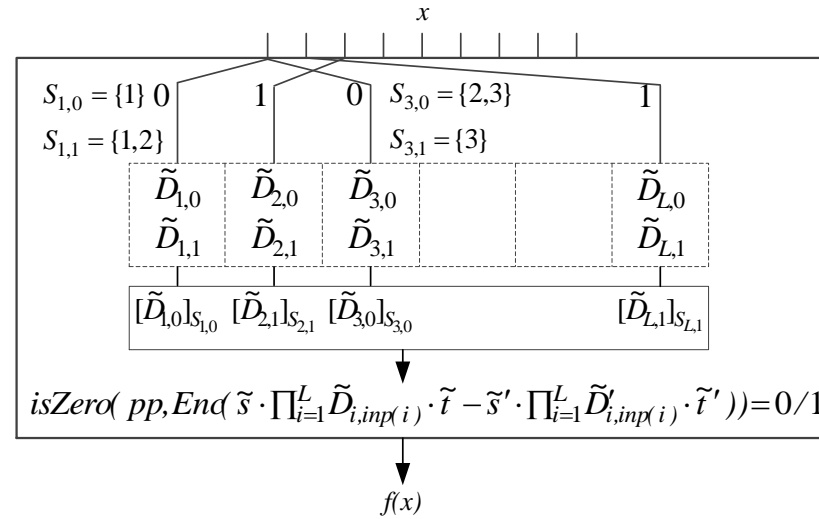
$$O(f(x)) = \begin{cases} 1, & \text{если } isZero = 0; \\ 0, & \text{если } isZero = 1. \end{cases} \quad (8)$$

d) Multiplication:  $u \leftarrow Mult(pp, u, u'), S \cap S' = \emptyset$

$$\forall i: u \equiv \frac{r_i \cdot g_i + m_i}{\prod_{j \in S} z_j} \pmod{p_i} \in E_S^m, u' \equiv \frac{r'_i \cdot g_i + m'_i}{\prod_{j \in S'} z_j} \pmod{p_i} \in E_{S'}^{m'}$$

$$\forall i: u \cdot u' \equiv \frac{(r_i r'_i + r_i m'_i + r'_i m_i) \cdot g_i + m_i m'_i}{\prod_{j \in S \cup S'} z_j} \pmod{p_i} \in E_{S \cup S'}^{m \cdot m'} \quad (2)$$

$$np_u (r_i r'_i + r_i m'_i + r'_i m_i) \cdot g_i + m_i m'_i < p_i$$



(6) Рис. 1. Процедура вычисления обфусцированной функции при заданном входном векторе  $x$

# Доказательство стойкости разработанного алгоритма неразличимой обфускации

- Обфускация в модели виртуального «черного ящика»:**

Вероятностная машина Тьюринга  $O$  является обфускатором машины Тьюринга ( $TM$  обфускатором), стойким в модели виртуального «черного ящика» при выполнении следующих трех условий:

1. Функциональность.  $C \approx O(C)$  для любой программы  $C$ ;
2. Полиномиальное замедление. Существует полином  $p(\cdot)$  такой что:

$$\forall C : |O(C)| \leq p(|C|) \cdot \text{time}(O(C)) \leq p(\text{time}(C));$$

3. Стойкость. Для любой полиномиальной вероятностной машины Тьюринга (PPT)  $A$  (противника) существует PPT  $Sim$  (симулятор) и пренебрежимо малая функция  $\mu$ , удовлетворяющие для любой машины Тьюринга  $C$  соотношению:

$$|Pr[A(O(C))=1] - Pr[Sim^C(1^{|C|})=1]| \leq \mu(|C|)$$

где  $O(C)$  — обфусцированная машина Тьюринга  $C$ ;

$Sim^C$  — вероятностная машина Тьюринга, анализирующая входные и выходные данные машины Тьюринга  $C$  и не имеющая непосредственного доступа к  $O(C)$ .

- Моделирование неразличимой обфускации с помощью модели со случайным оракулом:**

Обозначения:

$\mathfrak{R}$  — случайный оракул;

$e = (\alpha, S)$  — элемент, где  $\alpha(e)$  — значение элемента ( $\alpha \in R$ );  $S(e)$  — индекс элемента  $S \subseteq U$ ;

$P_e$  — полином, вычисляемый по схеме  $\alpha(e)$ ;

$D$  — алгоритм разложения элемента  $e$ ;

$V_C^{real}$  — равномерно распределенные случайные величины, генерируемые обфускатором  $O(C)$ ;

$V_s^{Sim}$  — равномерно распределенные случайные величины, генерируемые симулятором  $Sim$ ;

$[x]_S$  — разрешенное кодирование  $x$  относительно индекса  $S$ .

# Доказательство стойкости разработанного алгоритма неразличимой обфускации

$\mathcal{R}$  – случайный оракул, который выполняется за один шаг работы основного алгоритма. Оракул отвечает при каждом запросе следующим образом:

- генерация параметров:  $Setup(U, 1^\lambda) \rightarrow (pp, sk)$

- кодирование:  $Encode(sp, x, S) \rightarrow [x]_S$

- сложение:  $Add([x]_S, [y]_S) \rightarrow [x + y]_S$

- умножение:  $Mult([x]_{S_1}, [y]_{S_2}) \rightarrow [xy]_{S_1 \cup S_2}$

- проверка кодирования нуля:

$$ZeroTest([x]_S) \rightarrow \begin{cases} 0, & \text{если } S = U, x = 0 \in Z_p, \\ 1. & \end{cases}$$

$$Pr(ZeroTest(p_e) = 0) \leq \mu(L) \quad (1)$$

• **Утверждение 4.** Алгоритм  $D$  работает за полиномиальное время, и количество элементов в разложении  $D(e)$  также является полиномиальным.

• **Теорема Килиана:** Существует эффективный алгоритм моделирования  $S_{BP}$ , такой что  $\forall x \in \{0,1\}^n$  выполняется требование:

$$\{R_0, R_L, \{\tilde{D}_{i,b} : i \in [L], b = x_{inp(i)}\}\} \approx S_{BP}(1^L, BP(x)) \quad (2)$$

• **Утверждение 7.** Для любого одноходового элемента  $s$  такого, что  $U \subseteq S(s)$  значения переменных  $V_s^{Sim}$ , сгенерированные симулятором  $Sim$ , и значения, присвоенные  $V_C^{real}$ , имеют одинаковые распределения.

• **Лемма Шварца-Зиппеля.** Пусть  $P \in F(x_1, x_2, \dots, x_n)$  - ненулевой полином  $k$ -ой степени ( $k \geq 0$ ) над полем  $F$ , при подстановке в качестве значений переменных случайных чисел, каждое из которых может принимать  $S$  вариантов вариантов значения. Тогда:

$$Pr[P(r_1, r_2, \dots, r_n) = 0] \leq \frac{k}{|S|} \quad \text{где } r_1, r_2, \dots, r_n \text{ - равномерно случайные переменные;} \quad (3)$$

• **Утверждение 8.** Для любого элемента  $e$  такого, что  $p_e$  является полиномом степени  $poly(L)$ , если  $p_e(V_C^{real}) \neq 0$ , то:

$$Pr_{V_C^{real}}[p_e(V_C^{real}) = 0] = \mu(L) \quad (4)$$

• **Вывод по стойкости неразличимой обфускации:**

$$Pr[Adv(O(C)) = 1] = 2^{-n}, \quad n \geq 256 \quad (5)$$

**Спасибо за внимание!**